

# Correction du CNC 2018

Proposé par : A. OUAANABI

Sujet : Micro-Réseau

Partie A : Etude de la production PV et système stockage l'énergie

Q1 / Bilan de puissance

$$\text{Puissance totale} = \text{Nb} \times \text{Puissance}$$

$$\text{Energie totale} = \text{Pu} \times \Delta t \leftarrow \begin{matrix} \text{durée moyenne} \\ \text{de fact} \end{matrix}$$

$\Rightarrow$  la puissance totale quotidienne :

$$P_T = \sum P_{\text{ut}}$$

$\Rightarrow$  l'énergie totale quotidienne :

$$E_T = \sum E_{\text{ut}}$$

$\Rightarrow$  Voir les calculs dans DR

Q2% la puissance utile  $P_C$

Sochant que :  $E_T = k \cdot N_e \cdot P_C$

d'où :  $P_C = \frac{E_T}{k \cdot N_e} = \frac{302 \cdot 4 \cdot 10^3}{0.72 \cdot 5} \text{ Wh}$

$$\Rightarrow P_C = 84 \text{ kWc}$$

A.3% Nombre total  $N_T$  de panneau nécessaire

le nombre total est défini par :

$$N_T = \frac{P_C}{P_{\text{mpp}}}$$

avec  $P_{\text{mpp}}$  est la puissance crête d'un seul panneau

donc :

$$N_T = \frac{84 \cdot 10^3}{250}$$

$$\Rightarrow N_T = 336 \text{ panneaux}$$

Annexe 2  
 $P_{\text{mpp}} = 250 \text{ W}$

A.4% Nombre de panneaux à mettre en série

a partir de l'annexe 2, le tension crête produite par les panneaux est  $V_{\text{mpp}} = 30 \text{ V}$ , et que la tension souhaitée

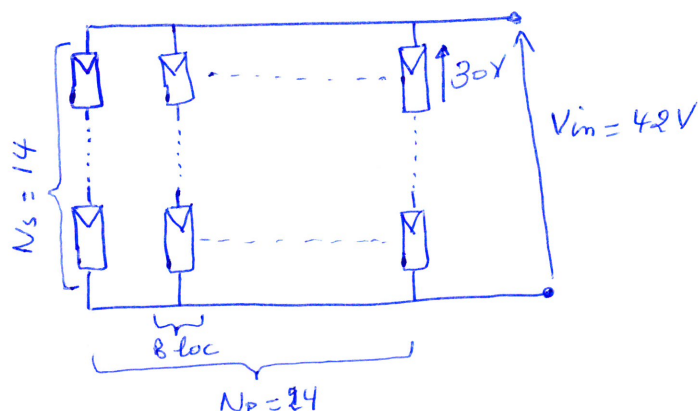
$$V_m = 480 \text{ V}$$

$$\Rightarrow N_s = \frac{V_m}{V_{\text{mpp}}} \Rightarrow N_s = 14 \text{ panneaux}$$

A.5% le nombre de bloc  $N_p$

en définit :  $N_p = \frac{N_T}{N_s}$

$$\Rightarrow N_p = \frac{336}{14} \Rightarrow N_p = 24 \text{ bloc}$$



A.6/ la capacité des batteries

Sochant que :  $E_T \cdot N_j = \eta_b \cdot C \cdot U_b \cdot D$

d'où :

$$C = \frac{E_T \cdot N_j}{\eta_b \cdot U_b \cdot D} = \frac{302 \cdot 4 \cdot 10^3 \cdot 4}{0.8 \cdot 48 \cdot 0.95}$$

donc :  $C = 42 \text{ KAH}$

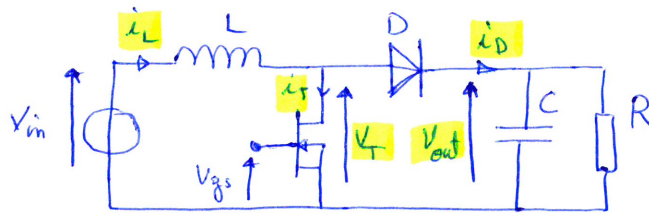
A.6/ Pour le stockage l'énergie, il existe autre procédure comme :

- les piles à combustible
- + les super-condensateurs
- + les volant d'inertie ... etc

L'utilisation des batteries en plomb peut être justifiée dans les cas où une quantité considérable d'énergie à stocker et où l'autre technologie ne sont pas adoptées pour répondre à cette demande énergétique élevée

### Partie B - Etude du convertisseur d'énergie DC/DC

Le schéma de principe :



Données :  $f_h = 20 \text{ kHz}$  -  $V_{out} = 510 \text{ V}$

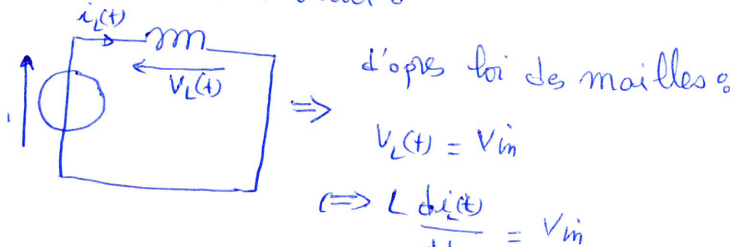
Hypothèses :

- les interrupteurs sont parfaits
- conduction continue :  $0 < i(t) < I_{max}$

### B1 - Équation d'évolution du courant $i_L(t)$ pour $t \in [0, \alpha T_h]$

Pour  $t \in [0, \alpha T_h]$  ⇒ T fermé et D ouverte

Le schéma devient :



$$\Leftrightarrow \frac{di_L(t)}{dt} = \frac{V_{in}}{L} \Rightarrow i_L(t) = \frac{V_{in}}{L} t + cte$$

Cte ? ⇒ à  $t=0 \Rightarrow i_L(0) = I_{min}$

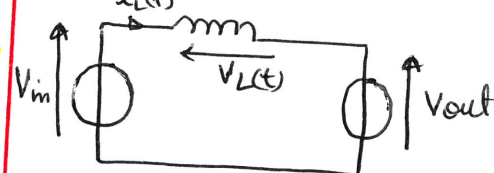
donc  $I_{min} = cte$

$$\text{d'où : } i_L(t) = \frac{V_{in}}{L} t + I_{min} \quad t \in [0, \alpha T_h]$$

### B-2 - Équation d'évolution du courant pour $t \in [\alpha T_h, T_h]$

Pour  $t \in [\alpha T_h, T_h] \Rightarrow T$  ouvert et D fermé

Le schéma devient :



d'après loi des mailles :

$$V_L(t) = V_{in} - V_{out}$$

$$\Rightarrow L \frac{di_L(t)}{dt} = V_{in} - V_{out}$$

$$\Rightarrow \frac{di_L(t)}{dt} = \frac{V_{in} - V_{out}}{L}$$

$$\Rightarrow i_L(t) = \frac{V_{in} - V_{out}}{L} t + cte$$

Cte ? à  $t = \alpha T_h \Rightarrow i_L(\alpha T_h) = I_{max}$

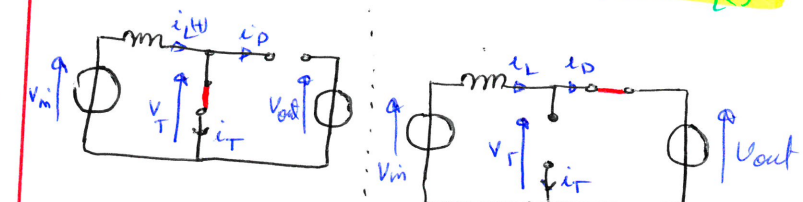
$$\Rightarrow I_{max} = \frac{V_{in} - V_{out}}{L} \alpha T + cte$$

$$\Rightarrow cte = - \frac{V_{in} - V_{out}}{L} \alpha T + I_{max}$$

D'où :

$$i_L(t) = + \frac{V_{in} - V_{out}}{L} (t - \alpha T) + I_{max}$$

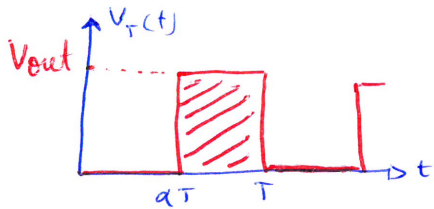
### B3 - Allures de $v_T(t)$ , $i_T(t)$ , $i_D(t)$ et $i_L(t)$



$v_T = 0$	$v_T = V_{out}$
$i_T = i_L(t)$	$i_T = 0$
$i_D = 0$	$i_D = i_L(t)$

Pour les allures voir DR

## 84% la valeur moyenne de $V_T(t)$



donc  $\langle V_T \rangle = \frac{\text{Surface}}{T} \Rightarrow \langle V_T \rangle = \frac{T - \alpha T}{T} V_{\text{out}}$

d'où :  $\langle V_T \rangle = (1 - \alpha) V_{\text{out}}$  ①

## 85% la relation entre $V_{\text{out}}$ et $V_{\text{in}}$

on suppose que le courant dans l'inductance est périodique  $\Rightarrow \langle V_L(t) \rangle = 0$

Appelons la loi des mailles cette source

$$\Rightarrow \begin{array}{l} \text{---} \\ \text{---} \\ \text{---} \\ \text{---} \end{array} \quad \begin{array}{l} V_L \\ \text{---} \\ \text{---} \\ \text{---} \end{array} \quad \begin{array}{l} V_T \\ \text{---} \\ \text{---} \\ \text{---} \end{array} \quad \begin{array}{l} V_{\text{in}} \\ \text{---} \\ \text{---} \\ \text{---} \end{array}$$

$$V_{\text{in}} \uparrow \quad \Rightarrow \quad V_T = V_{\text{in}} - V_L$$

$$\Rightarrow \langle V_T \rangle = \langle V_{\text{in}} \rangle - \langle V_L \rangle = 0$$

$$\Rightarrow \langle V_T \rangle = \langle V_{\text{in}} \rangle \Rightarrow \langle V_T(t) \rangle = V_{\text{in}}$$
 ②

d'après ① et ②  $\Rightarrow$

$$(1 - \alpha) V_{\text{out}} = V_{\text{in}} \Rightarrow V_{\text{out}} = \frac{V_{\text{in}}}{1 - \alpha}$$

$$\left. \begin{array}{l} \text{si } \alpha = 0 \Rightarrow V_{\text{out}} = V_{\text{in}} \\ \text{si } \alpha = 0.5 \Rightarrow V_{\text{out}} = 2 V_{\text{in}} \\ \text{si } \alpha \rightarrow 1 \Rightarrow V_{\text{out}} \rightarrow +\infty \end{array} \right.$$

L'où :  $V_{\text{out}} \geq V_{\text{in}} \Rightarrow$  il s'agit alors d'un choc en parallèle

## - 6/ conductibilité du courant

$$\left. \begin{array}{l} i_t(t) = \frac{V_{\text{in}}}{L} t + I_{\text{min}} \text{ pour } t \in [\alpha, \alpha T_B] \\ i_t(\alpha T) = I_{\text{max}} \end{array} \right.$$

donc

$$i_t(\alpha T) = I_{\text{max}} = \frac{V_{\text{in}}}{L} \alpha T + I_{\text{min}}$$

on définit :  $\Delta_{\text{IL}} = I_{\text{max}} - I_{\text{min}}$

d'où :  $\Delta_{\text{IL}} = \frac{V_{\text{in}}}{L} \alpha T$  et  $V_{\text{in}} = (1 - \alpha) V_{\text{out}}$

alors :  $\Delta_{\text{IL}} = \frac{\alpha(1 - \alpha) V_{\text{out}} T_B}{L}$

finalement :  $\Delta_{\text{IL}} = \frac{\alpha(1 - \alpha) V_{\text{out}}}{L \cdot f_B}$

## B.7/ conductibilité maximale du courant

et st maximum lorsque  $\frac{d \Delta_{\text{IL}}}{d \alpha} = 0$

alors :  $\frac{d \Delta_{\text{IL}}}{d \alpha} = \frac{V_{\text{out}}}{L \cdot f_B} (1 - 2\alpha) = 0$

la conductibilité du courant est maximale pour  $\alpha = 0.5$

$\Rightarrow$  l'inductance maximale due courant

$$\Delta_{\text{ILmax}} = \Delta_{\text{IL}}(0.5) \Rightarrow \Delta_{\text{ILmax}} = \frac{V_{\text{out}}}{4 \cdot L \cdot f_B}$$

## B.8/ la valeur de $L$

$$\text{Comme } \Delta_{\text{ILmax}} = \frac{V_{\text{out}}}{4 \cdot L \cdot f_B}$$

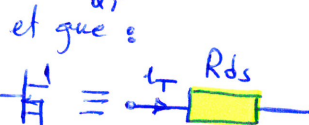
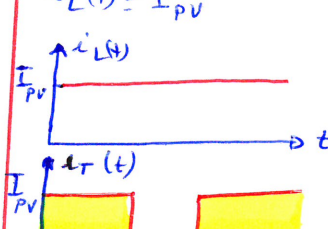
$$\text{donc } L = \frac{V_{\text{out}}}{4 \cdot f_B \cdot \Delta_{\text{ILmax}}} = \frac{510}{4 \cdot 20 \cdot 10^3 \cdot 1}$$

d'où :  $L = 6.375 \text{ mH}$

## B.9/ pertes de conduction

$$\text{Si } \Delta_{\text{IL}} = 0 \Rightarrow$$

$$i_L(t) = I_{\text{PV}}$$



$$P_C = R_{\text{DS}} \cdot (I_{\text{TEFF}})^2$$

ouac

$$I_{\text{TEFF}} = \sqrt{\langle i_T^2 \rangle}$$

$$\langle i_T^2 \rangle = \frac{I_{\text{PV}}^2 \times \alpha T}{T}$$

$$\langle i_T^2 \rangle = \alpha I_{\text{PV}}^2$$

$$I_{\text{TEFF}} = \sqrt{\alpha} I_{\text{PV}}$$

$$P_C = R_{DS} \cdot (I_{Teff})^2$$

$$\text{dmc : } P_C = R_{DS} \cdot K \cdot I_{PV}^2$$

$$P_C = 55 \cdot 10^{-3} \cdot 0.45 \cdot 32^2$$

$$\boxed{P_C = 25,34 \text{ W}}$$

Note :

$$I_{PV}^2 \propto i_r^2$$

$$\Rightarrow \langle i_r^2 \rangle = \frac{\alpha T \cdot I_{PV}^2}{T} = \alpha I_P^2$$

$$I_{Teff} = \sqrt{\frac{1}{T} \int_0^T i_r(t)^2 dt} = \sqrt{\langle i_r^2 \rangle}$$

$$\underline{I_{Teff}} = \sqrt{Q} \cdot \underline{I_{PV}}$$

### Partie C : Etude de l'enroulement de position des pommeeaux

#### C.1% la relation entre $\theta_p(t)$ et $\mathcal{R}_p(t)$

La relation entre  $\theta_p$  et  $\mathcal{R}_p$  est :

$$\boxed{\mathcal{R}_p(t) = \frac{d\theta_p(t)}{dt}}$$

d'après la transformation de Laplace :

$$\mathcal{R}_p(p) = P \cdot \theta_p(p) \text{ avec } C.I = 0$$

$$\text{dmc : } \mu_p(p) = \frac{\theta_p(p)}{\mathcal{R}_p(p)} \Rightarrow \boxed{\mu_p(p) = \frac{1}{P}}$$

#### 2% la transformation de Laplace de l'équation de la MCC

$$\text{Eq1 : } U(p) = E(p) + R I(p)$$

$$\text{Eq2 : } E(p) = K \mathcal{R}(p)$$

$$\text{Eq3 : } C_m(p) = K \cdot I(p)$$

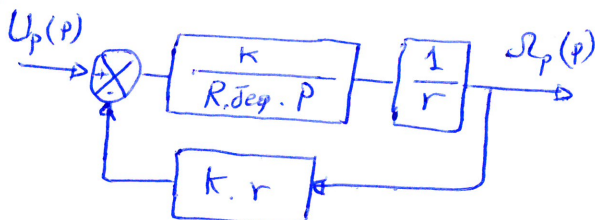
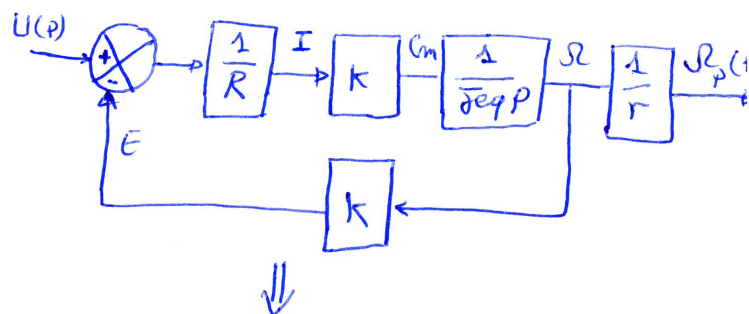
$$\text{Eq4 : } \text{Jeq. } \mathcal{R}(p) = C_m(p) - G_r(p) \approx 0$$

#### C.3% Expression de transfert $M(p)$

Pour répondre à cette question, on introduit le schéma bloc du moteur :

$$\text{On note que : } r = \frac{\mathcal{R}}{\mathcal{R}_p} \Rightarrow \boxed{\mathcal{R}_p = \frac{1}{r} \mathcal{R}}$$

$\Rightarrow$  dmc :



d'où

$$M(p) = \frac{\mathcal{R}_p(p)}{U_p(p)} = \frac{\frac{K}{r \cdot R \cdot \text{deg. } P}}{1 + \frac{K^2}{R \cdot \text{deg. } P}}$$

$$\Leftrightarrow M(p) = \frac{\frac{K}{r}}{\frac{R \cdot \text{deg. } P}{K^2} + 1}$$

$$\Leftrightarrow M(p) = \frac{\frac{1}{K \cdot r}}{1 + \frac{R \cdot \text{deg. } P}{K^2} p} = \frac{k_m}{1 + T_m p}$$

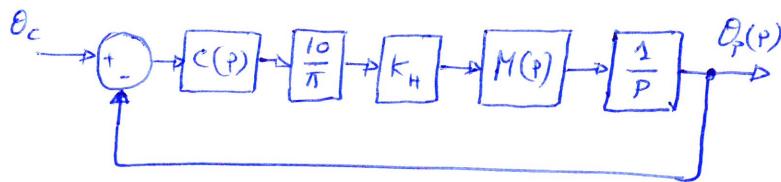
avec :

$$\left\{ \begin{array}{l} k_m = \frac{1}{K \cdot r} \\ T_m = \frac{R \cdot \text{deg. } P}{K^2} \end{array} \right.$$

$$\left\{ \begin{array}{l} k_m = \frac{1}{35} = 0.028 \\ T_m = 2.04 \text{ s} \end{array} \right.$$

## 4) Fonction de transfert en B.O.

soit, on simplifie le schéma bloc :



La fonction de transfert en B.O. s'exprime :

$$H(p) = C(p) \cdot \frac{10}{\pi} \cdot K_H \cdot M(p) \cdot \frac{1}{p}$$

$$H(p) = C(p) \cdot \frac{10}{\pi} \cdot K_H \cdot \frac{K_m}{1 + T_m p} \times \frac{1}{p}$$

$$H(p) = C(p) \frac{\frac{10}{\pi} \cdot K_H \cdot K_m}{p(1 + T_m p)}$$

$$H(p) = C(p) \frac{G}{p(1 + T_p)}$$

avec :

$$\left. \begin{aligned} G &= \frac{10}{\pi} \cdot K_H \cdot K_m \\ T &= T_m \\ T &= 2 \cdot 0.5 \\ G &= 1.364 \end{aligned} \right\} \Rightarrow$$

C. 6) On prendra pour la suite :

$$G = 1.4 \text{ et } T = 2s$$

## a) La stabilité du système

D'après le plan de Bode :

$$\operatorname{Arg}[H(j\omega)] > -180^\circ$$

Le système est stable, en effet, il s'agit d'un système 2ème ordre donc, il est très stable.

## b) Ennu de position (stabilité)

La fonction de transfert en B.O.  $H(p)$  possède une intégration en B.O. donc, l'enu de stabilité est nulle

$$E_s = 0$$

## c) La fonction de transfert en B.O.F.

$$\text{On a : } F(p) = \frac{H(p)}{1 + H(p)}$$

$$\Leftrightarrow F(p) = \frac{\frac{G}{p(1 + T_p)}}{1 + \frac{G}{p(1 + T_p)}}$$

$$\Leftrightarrow F(p) = \frac{G}{T p^2 + p + G}$$

$$\Leftrightarrow F(p) = \frac{1}{1 + \frac{1}{G} p + \frac{T}{G} p^2} = \frac{G_F}{1 + \frac{2Z}{\omega_n} p + \frac{p^2}{\omega_n^2}}$$

## d) Identification des paramètres $\omega_n$ et $G_F$

$$G_F = 1 \quad \omega_n = \sqrt{\frac{G}{T}}, \quad \frac{2Z}{\omega_n} = \frac{1}{G}$$

$$Z = \frac{1}{2} \cdot \frac{1}{G} \times \sqrt{\frac{G}{T}} \Rightarrow Z = \frac{1}{2} \sqrt{\frac{1}{GT}}$$

$$G_F = 1, \quad Z = 0.3 \text{ et } \omega_n = 0.83 \text{ rad/s}$$

## e) Temps de réponse et le déplacement

D'après le plan de Bode de l'annexe on a :

- temps de réponse :

$$Z = 0.3 \rightarrow \operatorname{tr}_{5\%} \omega_n = 8 \Rightarrow$$

$$\operatorname{tr}_{5\%} = \frac{8}{\omega_n}, \quad \operatorname{tr}_{5\%} = 9.63s$$

- \* déplacement D

$$Z = 0.3 \rightarrow D\% = 39\%$$

## C.7 / la marge de phase

on fait la projection sur le phasor  
à la pulsation  $\omega_1$  à pour laquelle  
 $\zeta = 0$  : et on trouve

$$\Delta\varphi = 180 + \text{Arg}(F(\delta\omega_1)) \\ = 180 - 146 \Rightarrow \boxed{\Delta\varphi = 34^\circ}$$

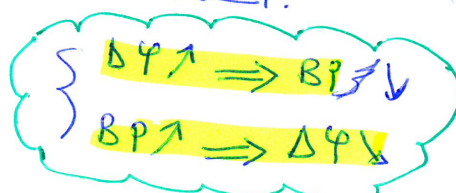
## C.8 / connecteur PI

\* le coherier des charge impose :

- BP plus large  $\rightarrow$  augmentation de rapidité
- $\Delta\varphi \geq 45^\circ \rightarrow$  augmentation de stabilité

\* la propriété d'un connecteur PI  
ne permet pas de satisfaire à ce type de coherier des charges

car si on augmente la bande passante,  
les marges de stabilité diminuent  
ou inversent.



un autre problème :  $H(p)$  possède  
une intégrale ( $\frac{1}{p}$ ) en B.O., l'ajoute  
d'un PI  $\Rightarrow$  déstabilise automatiquement  
le système !!!

ce type de système exige  
d'instaurer un connecteur à  
avance de phase

## C.9 / connecteur à avance de phase

avant de faire l'étude, il faut trouver le module et la phase de  $H(p)$

$$H(p) = C(p) \cdot \frac{G}{p(1+Tp)}$$

\* expression complexe

$$H(j\omega) = C(j\omega) \cdot \frac{G}{j\omega(1+Tj\omega)}$$

$\Rightarrow$  le module :

$$|H(j\omega)| = |C(j\omega)| \times \frac{G}{\omega \sqrt{1+(Tw)^2}}$$

$\Rightarrow$  l'argument (phase)

$$\text{Arg}(H(j\omega)) = \text{Arg}(C(j\omega)) + \text{Arg}\left(\frac{G}{j\omega(1+jTw)}\right)$$

$$\Leftrightarrow \text{Arg}(H(j\omega)) = \text{Arg}(C(j\omega)) + [-90 - \text{arctg}(Tw)]$$

\* la valeur que doit prendre  
 $\text{Arg}(H(j\omega))$  ?

$$\text{On a } \omega_m = \omega_1 = 7,5 \text{ rad/s}$$

$$\Delta\varphi = 180 + \text{Arg}(H(j\omega_1)) = 45^\circ$$

$$\text{donc } \text{Arg}(H(j\omega_1)) = -135^\circ$$

b/ la phase  $\varphi_m$  que doit ajouter au  
connecteur à la pulsation  $\omega_1 = \omega_m$

$$\varphi_m = \text{Arg}(H(j\omega_1)) + 90 + \text{arctg}(Tw_1)$$

$$\varphi_m = -135 + 90 + \text{arctg}(2 \times 7,5)$$

$$\text{donc : } \boxed{\varphi_m = 41,19^\circ}$$

## C1/ la valeur du paramètre $q$

d'après l'annexe que :

$$q = \frac{1 + \sin \varphi_M}{1 - \sin \varphi_M} \Rightarrow q = 4.86$$

## C2/ la valeur de constante de temps $\tau$ :

d'après l'annexe :  $\omega_M = \omega_1 = \frac{1}{2\sqrt{q}}$

$$\text{donc } \tau = \frac{1}{\omega_1 \sqrt{q}} = \frac{1}{7.5 \sqrt{4.86}}$$

$$\Rightarrow \tau = 60.48 \text{ ms}$$

## C3/ le gain $K_C$

on calcule  $K_C \approx \omega_1 \Rightarrow |H(j\omega_1)| = 1$

$$\Leftrightarrow \left| \frac{C(j\omega_1)}{T} \times \frac{G}{\omega_1 \sqrt{1 + (\tau \omega_1)^2}} \right| = 1$$

$$\Leftrightarrow K_C \sqrt{q} \times \frac{G}{\omega_1 \sqrt{1 + (\tau \omega_1)^2}} = 1$$

d'où

$$K_C = \frac{\omega_1 \sqrt{1 + (\tau \omega_1)^2}}{\sqrt{q} \times G} = \frac{7.5 \sqrt{1 + (7.5 \times 2)^2}}{\sqrt{4.86} \times 1.4}$$

$$K_C = 36.53$$

## Partie D - Etude de la transmission de données et gestion du mini-réseau.

### D1 - Chronogramme des signaux.

• caractère E

$$"E" = 45h = 1000101$$

↳ paire paire : si Nbit des 1 est pair  $b_P = 0$  si non 1

dans ce cas : Nombre de 1 et 3 (impair)

$$"3" \text{ de "1"} \Rightarrow b_P = 1$$

• caractère ESC = 1Bh = 0011011

Nombre de 1 et 4

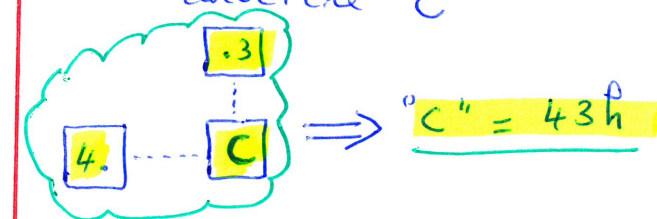
$$"4" \text{ de "1"} \rightarrow b_P = 0$$

trames ~~transmises~~ sont présentées en DR3

### D2/ la trame à transmettre

à partir du tableau du code ASCII en hex, on code les différentes caractères

Ex : caractère "C"



↳ voir le DR3

### D3 - la valeur de Checksum

sachant que :

$$\text{checksum} = (S_1 \& 3Fh) + 20h$$

$$\Leftrightarrow \text{checksum} = (304h \& 3Fh) + 20h$$

$$\text{checksum} = 24h$$

voir DR3

D4/ la durée minimale pour transmettre ce groupe de données

• la trame est composée de 20 caractères

• chaque caractère est transmis via la trame RS32 qui compose de 10 bits

$$\text{chaque bit est durée } \Delta t_{RS} = \frac{1}{D}$$

donc : la durée pour transmettre un caractère en RS232

$$\Delta t_{RS} = 10 \times \frac{1}{D}$$

↓  
bits de  
trame  
RS232

vitesse de  
transmission

$D = 19200 \text{ bits/s}$   
↓  
ou bauds

$$\boxed{\Delta t_{RS} = 520,83 \mu\text{s}}$$

donc la durée minimale pour transmettre un groupe de données

$$\Delta t = 20 \times \Delta t_{RS232}$$

↓  
20 caractères

$$\boxed{\Delta t = 10,41 \text{ ms}}$$

DY / l'entrée/sortie du système

Voir DRY

DS / graphique l'état du système

Voir DRY

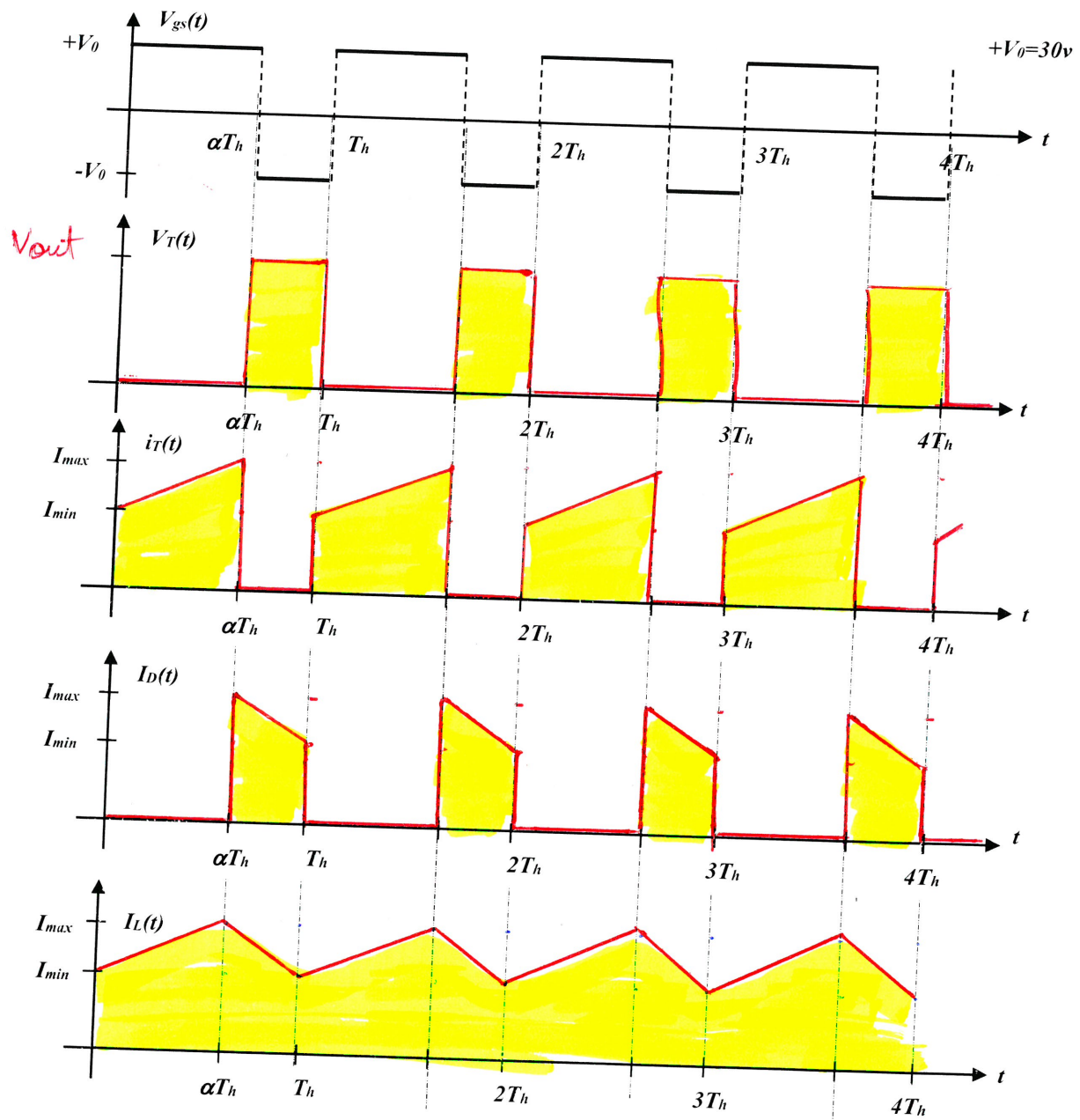
## Document Réponse 1

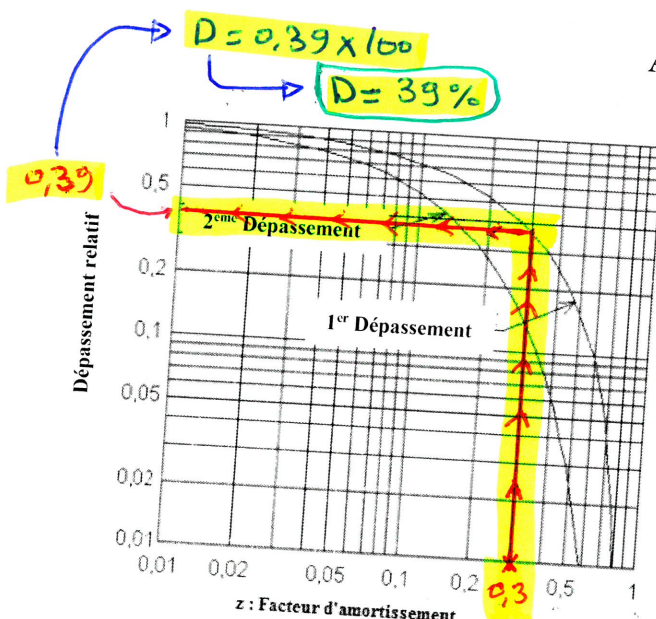
A.1) Bilan de puissances et d'énergies des récepteurs tertiaires

Usage	Équipement	nombre	Puissance unitaire (W)	Durée moyenne de fonctionnement (heures/Jour)	Puissance totale (W)	Énergie totale (Wh)
Éclairage public	Ampoule LED	24	40	6,875 h	960 ....	6600 ....
Éclairage d'intérieur	Ampoule LED globe	4x120	15	5 h	7200 ....	36000 ....
Réfrigération	Frigo A+	1x120	150	4 h	18000 ....	72000 ....
Lave-vaisselle	Lave-vaisselle A+	1x120	1200	(4 fois /semaine) Soit 0,4 h	144000 ....	57600 ....
Lave-linge	Lave-linge A+	1x120	2500	(1 fois/semaine) soit 0,25 h	300000 ....	75000 ....
Informatique	Ordinateur	1x120	60	4 h	7200 ....	28800 ....
Audio-visuel	TV LCD	1x120	80	2 h	9600 ....	19200 ....
<b>Total :</b>					<b>486960</b> P <sub>T</sub> = .....	<b>295200</b> E <sub>T</sub> =.....

## Document Réponse 2

B.3) Chronogrammes :





Annexe 4

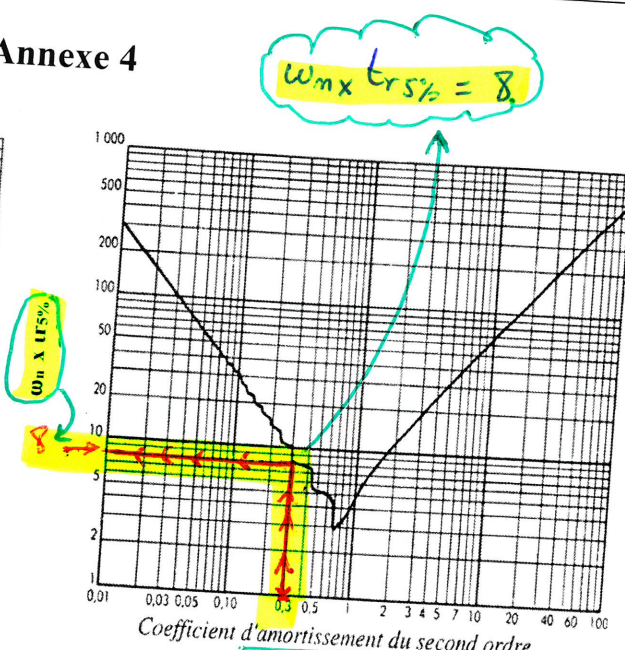
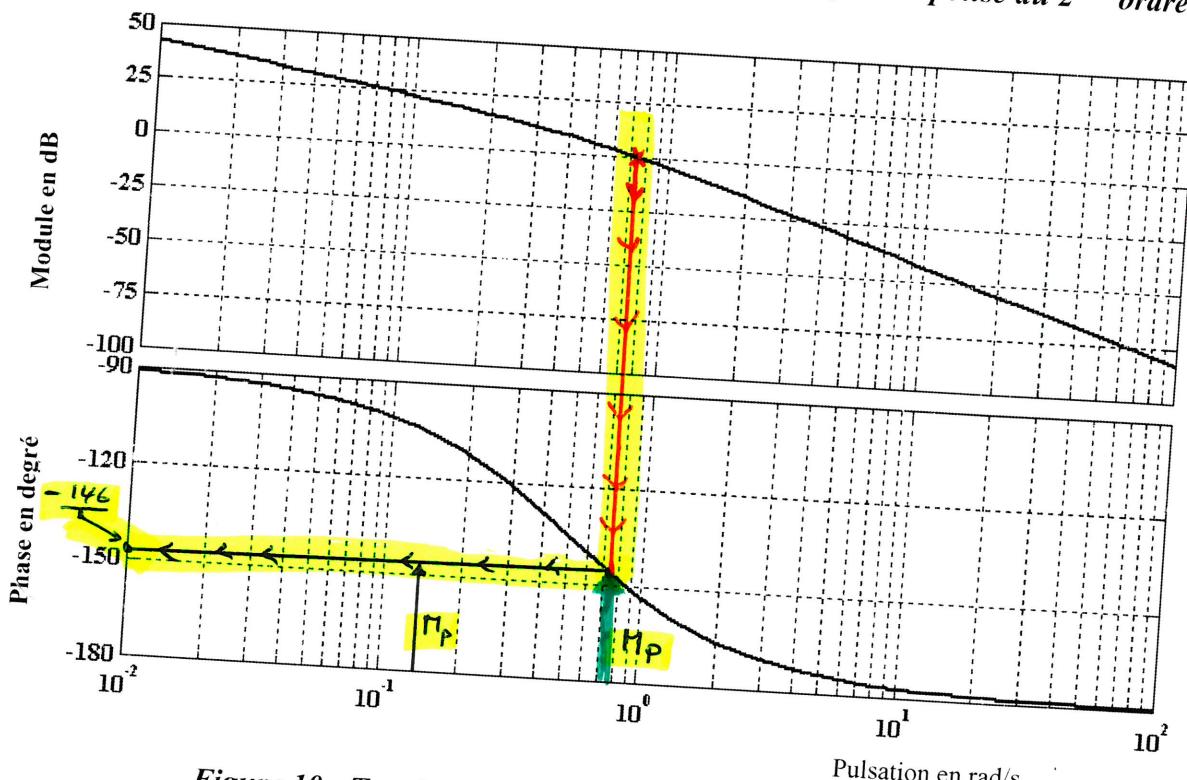
Figure 8 : Dépassement du 2<sup>ème</sup> ordrefigure 9: Temps de réponse du 2<sup>ème</sup> ordre

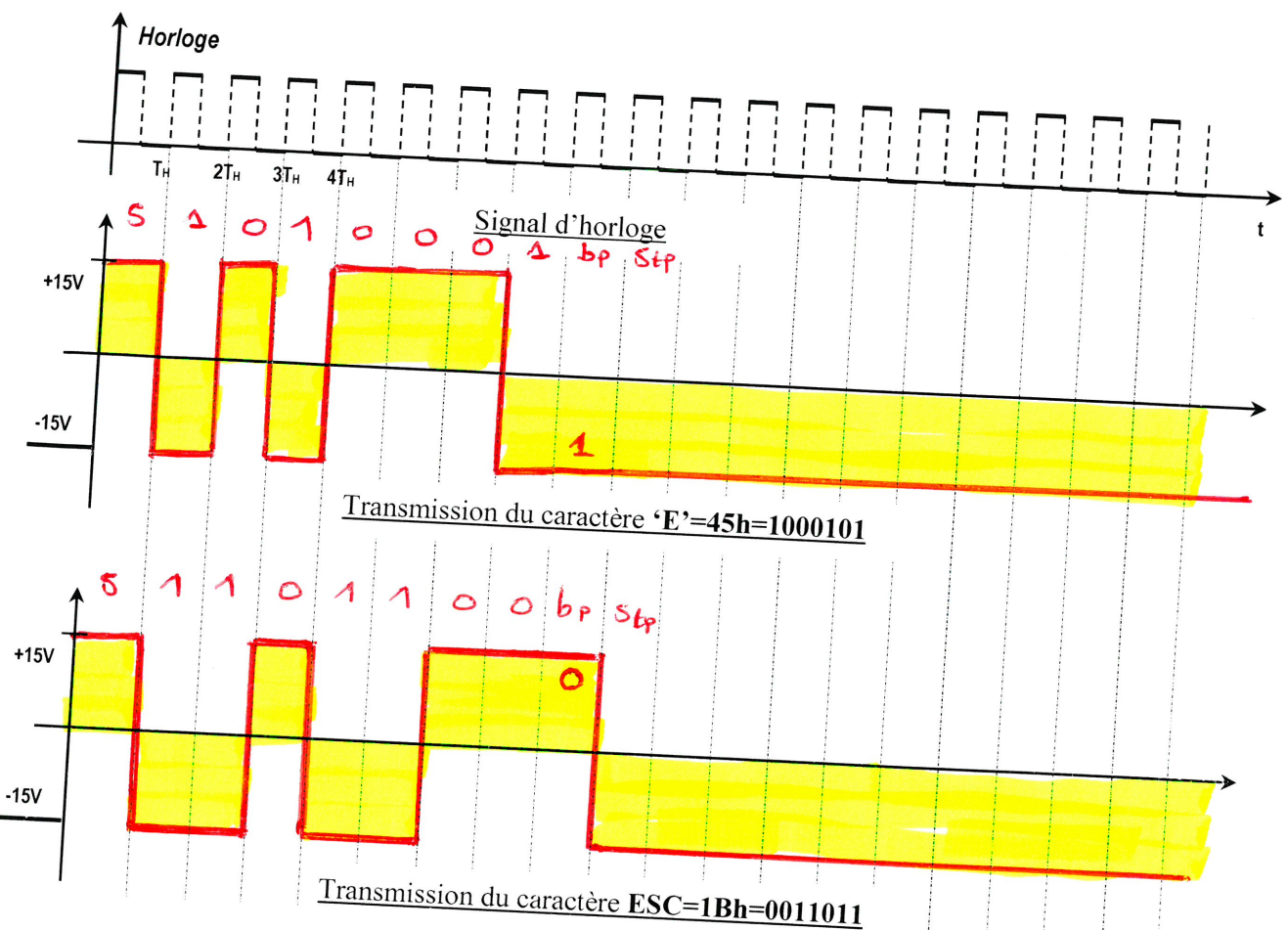
Figure 10 : Tracé de Bode de La FTBO du système non corrigé

Caractéristiques d'un correcteur à avance de phase :  $C(p) = K_c \frac{1+at_p}{1+\tau_p}$

Phase maximale apportée $\varphi_M$	Pulsation de $\varphi_M$	Gain à la pulsation $\omega_M$
$\varphi_M = \arcsin \frac{a-1}{a+1} \Leftrightarrow a = \frac{1 + \sin \varphi_M}{1 - \sin \varphi_M}$	$\omega_M = \frac{1}{\tau \sqrt{a}}$	$ C(\omega_M)  = K_c \sqrt{a}$

## Document Réponse 3

**D.1)**



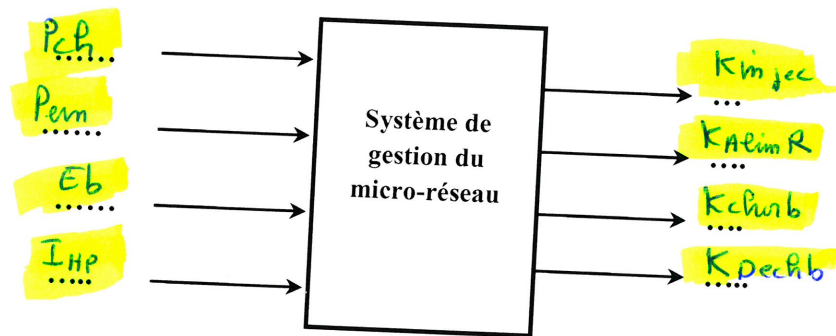
**D.2)**

STS	LF	H	C	H	C	SP	0	0	1	0	6	5	9	6	3	SP	Checksum	CR	ETX
02h	0Ah	48	43	48	43	20h	30	30	31	30	36	35	39	36	33	20h	24h	0Dh	03h

Codage de la trame transmettant la consommation  
en heure creuse : « HCHC 001065963 »

## Document Réponse 4

D.5)



Les entrées/Sortie du système de gestion du micro-réseau

D.6)

